

(財)電力中央研究所 正会員 満木 義郎, 五味 義雄

1. まえがき

本試験は、ボトル状の軸内筋回軸体薄肉容器(以下容器と呼ぶ)が頭部を下にして落下し、剛体に衝突する際の動的圧縮荷重のもとでの挙動を検討するために行っているものである。

試験に用いた容器は、図-1に示すもので、全長 約1.3m、胴部の直径 約43cm、首部の直径 約14cm、板厚 約5mm、材質 ステンレス鋼(SUS 304又はSUS 309相当品)である。容器内には、比重 約2.7の固体が充填してあり、容器の総重量は充填物を含めて約500kgである。

実験は、容器を最大高さ9mより落下させる落下衝撃実験とこれを補足するためには実施しE容器首部モデルの静的圧縮荷重実験により構成されている。また、実験と並行して“衝撃解析用汎用コードPISCES”および“非線形構造解析用汎用コードMARC”による解析も実施した。

本試験の結果から、対象とした容器の落下衝撃によって生じる変形は、落下高さが増加するとスナップスリーブによるものと類似のものであり、この変形挙動は静的圧縮荷重によても生じることが判明した。また、解析結果とよく一致することもわかった。

2. 動的圧縮荷重実験(落下衝撃実験)

実験は、容器を倒立姿勢(頭部を下にする)で吊り高さまでクレーン車により吊り上げて、切離装置を遠隔操作することにより落下試験台(長さ 5.7m × 幅 3.0m × 深さ 2.5m; 重量約130トンのコンクリートブロックの上面に長さ 3.0m × 幅 2.8m × 厚さ 9cm の鋼板と敷設したもの)の上に落下させる方法により行った。落下高さは、9m、5.1mおよび1.2mの3種とした。

衝突時の衝撃挙動は、容器表面に取り付けたピエゾ型加速度計を用いて測定した。また、16mmフィルムによる高速度カメラ撮影(500コマ/秒)にもよった。

衝突によって生ずる変形は、落下高さ1.2mでは頭部においでのみであり、その量はわずかである。一方、落下高さが5.1mおよび9.0mでは、その変形は図-2に示すようにノズル部が頭部にめり込み、コニカルシェル部が落下方と接触するスナップスリーブ型を呈する。

衝突時に、容器が落下試験台と接触している時間は、落下高さが5.1mでは約2ms、9.0mでは約12msである。また、衝突時にノズル部が頭部にめり込めるコニカルシェル部が落下方と接触するまでの時間もほぼ同様の関係があり、9.0m落下では5msである。

衝突時のひずみ量については、衝突前の近傍では約1%となるのがあるが、衝突部から引いた本体頭部では数100~1000μ程度である。また、加速度(ピーカー値)は、落下高さが増加するにつれて増し、9m落下では430g程度である。この容器の自重(約500kg)であるので、約220tの荷重が容器に作用したと想定できる。

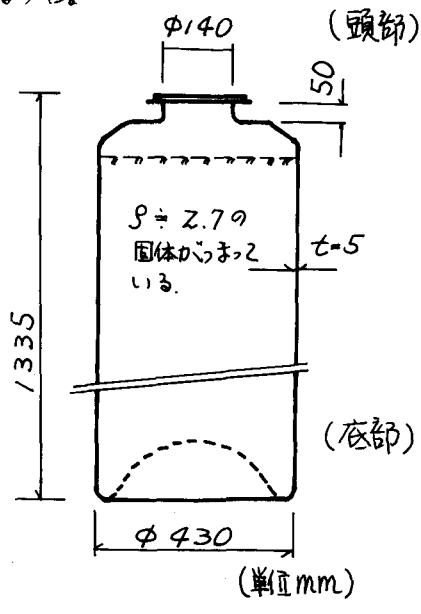


図-1 ボトル状薄肉容器

3. 静的圧縮荷実験

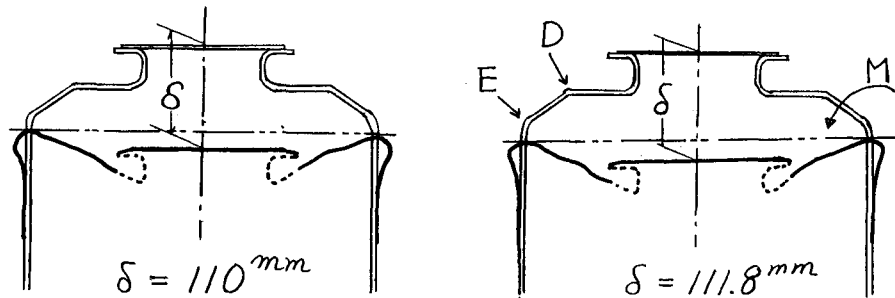
実験は、容器頭部の圧縮荷重のととの変形挙動をためることを目的として、容器胴部の上端近くを切断し、その部分に載荷のために補強板を溶接してモルタル試験体として用ひて行った。圧縮荷重は、容量 500 t のアムスラー型試験機を用ひて実施し、圧縮時には、容器の外側のひずみ量、載荷板面の変位測定による全長の収縮量、蓋部の変形量、容器肩部の半径方向の変形量(図-3の点A, 点B, 点C)の各々を測定した。

容器の変形挙動は、図-3に示すように載荷初期には弾性的な挙動を示すが、荷重が2~3tをこえると首部が徐々に容器胴部にめり込んでゆく。この間の荷重・変形量はほぼ一定である。次に、荷重が約22t(変形量約70mm)になると首部は完全に胴部にめり込みニカルシェル部が載荷板に接触する。接触は、最初は図-2(b)の点D附近で生じるが、荷重の増加とともに点E方向に移動する。この点E附近には、Mで示す(図-2(b))回転カギ作用しているものと考えられ、これにより頭部荷重が作用して(1)に蓋部は載荷板からはずれていゆるやくスナップスレー的な変形を示す。このことは、図-3の点AおよびBの変形量が4.5t(変形量80mm)付近から異なり挙動を示すことからも推定できる。

4. あとがき

試験の対象とした容器の載荷後の残留変形は、推定された荷重量が若干異なるか量および形状とも、車体構造部の載荷のいずれもよく似ていること可知り、E。このことは、並行して実施した解析によるとほぼ立証され

E。以上のことから
この種の容器の落下
衝突時の挙動は、落
下高さが大きい大き
くない場合には、大
きな変形とともに大きな
でも静的荷重に比べ
代わると考えらる。



(a) 動的載荷

(b) 静的載荷

図-2 試験後の残留変形

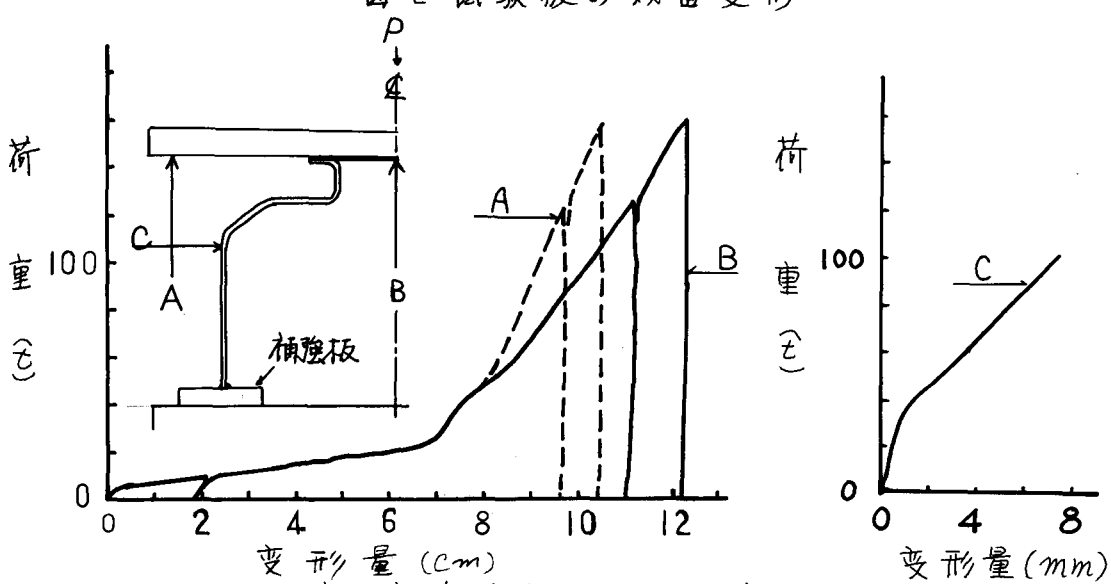


図-3 静的載荷試験における荷重-変形曲線